

УДК 622.235.113

М. Д. Войтов, А. Б. Сабанцев

КОЛИЧЕСТВЕННАЯ ОЦЕНКА ПАРАМЕТРОВ КОМБИНИРОВАННЫХ ВОРОНКООБРАЗУЮЩИХ ВРУБОВ

Действующими в настоящее время в России правилами безопасности при производстве взрывных работ в угольных шахтах, опасных по газу и пыли [1], предусмотрен ряд изменений, позволяющий повысить эффективность взрывных работ при проведении выработок относительно действующих «Единых правил безопасности при взрывных работах».

Разработанные параметры основного варианта и подвариантов комбинированного воронкообразующего вруба (КВВ) могут использоваться в рудных и угольных шахтах в забоях, не опасных по газу и пыли.

Для того чтобы использовать такие параметры

допущенными по безопасности, на рис. 1 приведены графики зависимости расстояний между шпурами от крепости пород для ВВ II, III–IV и V классов по дискретным значениям a_{min} , установленным [1].

Сглаженные значения минимально допустимых расстояний определены по графикам рис. 1 и сведены в табл. 2., из данных которой следует, что во всех условиях взрывания при применении промышленных ВВ, расстояния между шпурами на контуре вруба больше допущенных по условиям безопасности и, следовательно, врубы КВВ по условиям отсутствия уплотнения смежных зарядов удовлетворяют требованиям [1].

Таблица 1. Минимально допустимые расстояния между смежными шпуровыми зарядами

Условия взрывания	Минимально допустимые расстояния между смежными шпуровыми зарядами a_{min} , м при применении ВВ классов по предохранительности			
	II	III–IV	V	VI
по углю	0,6	0,6	0,5	0,4
по породе при $f < 7$	0,5	0,45	0,3	0,25
по породе при $f = 7–10$	0,4	0,3	—	—

Таблица 2. Сглаженные минимально допустимые расстояния

Класс ВВ по предохранительности	Сглаженные минимально допустимые расстояния между смежными шпуровыми зарядами a_{min} , мм в породах с коэффициентом крепости f											
	Уголь	2	3	4	5	6	7	8	9	10	12	15
II	600	590	540	510	480	450	430	410	385	370	340	315
III–IV	600	570	520	470	430	3900	350	320	290	265	230	210
V	500	460	390	325	275	230	190	—	—	—	—	—

врубов в опасных условиях угольных шахт необходимо, чтобы они удовлетворяли требованиям [1] о допустимых режимах короткозамедленного взрывания, но также обеспечивали условия, при которых не будет происходить взаимоуплотнения смежных шпуровых зарядов на контуре вруба и этих же зарядов сосредоточенных в скважинах.

Согласно [1] минимально допустимые расстояния между смежными шпуровыми зарядами диаметром 36 мм по условиям исключения их уплотнения, в зависимости от крепости пород и класса ВВ, приведены в табл. 1.

При этом в породах с $f > 10$ расстояние между смежными шпуровыми зарядами должно определяться нормативами, разработанными по согласованию с организацией-экспертом по безопасности взрывных работ.

Для того, чтобы выполнить проверку рассчитанных по эффективности разрушения массива расстояний между шпурами на контуре вруба с

если расстояния между шпуровыми зарядами во всех условиях взрывания удовлетворяет требованиям [1], то величина допустимого приближения шпуровых зарядов к сосредоточенному требует обоснования.

Для выполнения обоснования, в качестве справки, следует привести данные о области применения непредохранительных ВВ в зависимости от крепости пород. Так по [1] непредохранительные ВВ, не содержащие сенсибилизаторов более чувствительных, чем тротил (аммонит бЖВ), могут использоваться во всех породах по крепости. Детонит М и аммонал скальный № 3, содержащие более чувствительные сенсибилизаторы – в породах с f от 7 до 10, только во врубах, а в породах с f более 10 – любые ВВ в забоях, не опасных по газу и пыли.

Отсутствие уплотнения, отказов и выгорания смежных зарядов при a_{min} обосновано прямыми экспериментами в угольных шахтах при взыва-

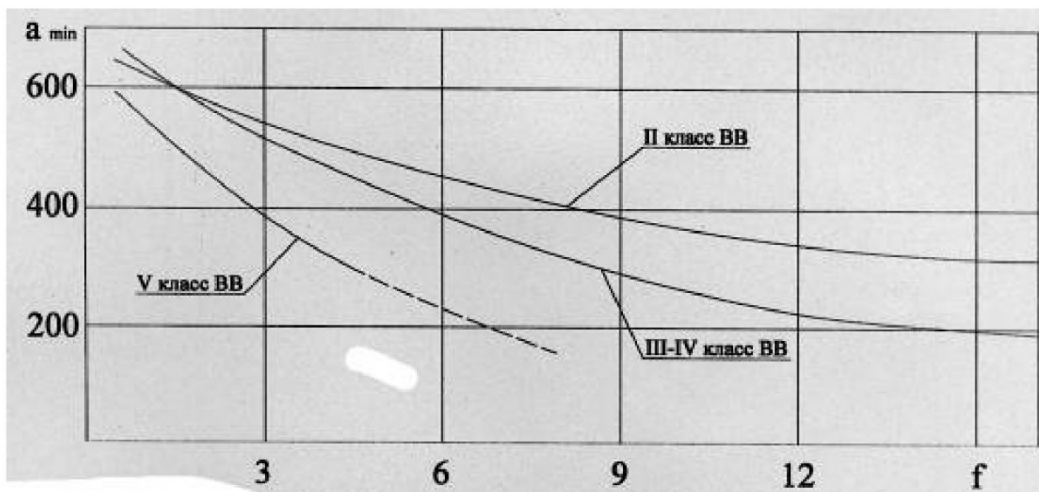


Рис. 1. График дифференцированных минимально допустимых расстояний между смежными шпуровыми зарядами по нормативам действующих ПБ

ния зарядов цилиндрической конструкции диаметром 36 мм и обобщенным анализом практики ведения взрывных работ, что позволило уточнить и дифференцировать результаты с учетом удельной мощности (энергии) зарядов и оформить в Правила безопасности.

Заряды в скважинах вруба конструктивно отличаются от шпуровых различным соотношением длины к их диаметру. Если заряды в шпуре при использовании стандартных патронов ВВ относятся к цилиндрическим, то заряды в скважинах вруба могут быть по своему действию как приближающиеся к сферическим, при отношении длины к его диаметру не более 4 [2], так и переходными к цилиндрическим, когда приведенное соотношение превышает 4.

Термин «переходные к цилиндрическим» означает, что между сферическими и цилиндрическими зарядами нет четкой границы, поскольку вследствие меньшей скорости распространения волны напряжения в более сжатой зоне (у торцов зарядов), на некотором удалении от продольной оси заряда, в принципе, любая цилиндрическая волна преобразуется в сферическую. Однако следует отметить, что в пределах a_{min} цилиндрическая волна от шпуровых зарядов массой 400 г и более не успевает трансформироваться в сферическую и распространяется в массиве по закономерностям цилиндрической волны.

Поэтому при обосновании допустимого отстояния шпуровых зарядов, по условиям отсутствия их уплотнения, от зарядов в скважинах вруба использованы закономерности затухания волн напряжения с относительным расстоянием с учетом соотношения их геометрических размеров.

Согласно теоретическим положениям [3, 4] затухания волны напряжения сферической формы с относительным расстоянием от них происходит в кубической зависимости, а цилиндрической формы – в квадратной.

При экспериментальном определении харак-

тера затухания напряжений на фронте волн в ближней зоне [5] (при относительном расстоянии $r \leq 10$) в конкретных горных породах были получены показатели затухания ниже теоретических, равные для цилиндрических 1,5 и сферических 2,0, с тенденцией приближения их к единице при $r > 100$, т.е. на удалении, где волны напряжения преобразуются в сейсмические колебания.

С целью обеспечения максимальной гарантии исключения возможности уплотнения шпуровых зарядов скважинными, в основу определения текущих напряжений в сферических и цилиндрических волнах напряжения положены показатели степени затухания, установленные экспериментально, т.е. 2 и 1,5.

Кроме того, в нашем случае главным является оценка расстояния, при котором напряжение в волне от заряда в скважине вруба становится равным напряжению, при котором по [1] не происходит уплотнения смежных шпуровых зарядов.

Текущие значения напряжений при использовании цилиндрических и сосредоточенных зарядов могут быть представлены в виде:

$$\bar{Gr}_u = P_{ou} / \bar{r}^{u_c}; \quad (1)$$

$$\bar{Gr}_c = P_{oc} / \bar{r}^{u_c}, \quad (2)$$

где \bar{r} – относительное расстояние в радиусах зарядов;

u_c , u_s – показатели затухания волн напряжения, соответственно цилиндрической и сферической форм.

Условием отсутствия уплотнения смежных зарядов различной симметрии при некотором расстоянии между ними является равенство $\bar{Gr}_c = \bar{Gr}_u$. При этом величина \bar{Gr}_u при известных P_{ou} и u_c практически установлена [1] посредством минимально допустимого расстояния между смежными шпуровыми зарядами a_{min} .

Выразив относительные расстояния в форму-

лах (1, 2) в абсолютных размерах, условие отсутствия уплотнения шпуровых зарядов на контуре вруба скважинными запишется в виде:

$$\frac{P_{oc}}{(a_{min}/r_{sc})^2} = \frac{P_{ou}}{(a_{min}/r_{su})^{1.5}}. \quad (3)$$

Заряд в скважине, состоящий из одной связки 4-х стандартных патронов массой каждого 300 г, формирует сферическую волну напряжения на незначительном удалении от его оси.

При использовании в скважине двух и более связок патронов в ближней зоне формируется цилиндрическая волна, которая на некотором удалении от него преобразуется в сферическую с интенсивностью затухания напряжения свойственную такого типа волне.

Для определения размера границы, на которой происходит преобразование цилиндрической волны в сферическую воспользуемся зависимостью предложенную Г. И. Покровским [6] в виде

$$L = \frac{4}{3}R, \quad (4)$$

где L – длина цилиндрического заряда;

R – расстояние от оси заряда, на котором цилиндрическая волна превращается в сферическую.

При длине зарядов состоящих из 1, 2 и 3-связок стандартных патронов ВВ массой 300 и 250 г и 2, 3 и 4-х связок массой 200 г (угленит Э-6), допущен-

ных к применению в шахтах, количественное значение R приведено в табл. 3.

Из сравнения данных табл. 1 и 3 следует, что на расстояниях a_{min} при использовании зарядов в скважинах, состоящих из 3^х связок патронов их цилиндрическая волна напряжения не преобразовывается в сферическую, а при зарядах из 2^х связок патронов только в угле и породах с $f < 7$ цилиндрическая волна успевает трансформироваться в сферическую. Очевидно, что напряжения от зарядов в скважинах снижаются до уровня допустимого по [1], на расстояниях превышающих a_{min} , что следует учитывать в дальнейших расчетах.

Если в основу дальнейших расчетов принять среднее начальное давление в зарядной камере, равное для рассматриваемых ВВ в стандартных патронах диаметром 36 мм и равное: 5520,5; 5520,0; 6954,3; 9006,7; 8763,8; 4551,0 МПа соответственно для АП-5ЖВ, ПЖВ-20 (Т-19), 6ЖВ, детонита М, аммонала скального № 3 и угленита Э-6, то напряжения в массиве на удаление их a_{min} друг от друга будут равны, приведенным в табл. 4.

Если реальные напряжения будут несколько отличаться от расчетных по табл. 4, то это не окажет существенного влияния на объективность выводов о допустимых расстояниях шпуровых зарядов вруба от скважинных, поскольку они основываются не на абсолютных значениях, действующих в среде напряжений, а отношением интен-

Таблица 3. Расстояние от оси заряда, на котором цилиндрическая волна превращается в сферическую.

Тип ВВ	Параметры стандартного патрона ВВ		Длина заряда, см, состоящего из связок патронов ВВ, шт.		Расстояние от оси заряда R , см, на котором цилиндрическая волна преобразуется в сферическую		
	масса, г	длина, см	2	3	1 связка патронов	2 связки патронов	3 связки патронов
Аммонит АП-5ЖВ	300	27,5	55,0	82,5	20,62	41,25	61,82
Аммонит ПЖВ-20, Т-19	300	26,5	53,0	79,5	19,88	39,75	59,62
Аммонит № 6ЖВ	300	26,8	53,6	80,4	20,10	40,20	60,30
Дetonит М	250	23,5	47,0	70,5	17,62	35,25	52,88
Аммонал скальный № 3	300	28,1	56,2	84,2	21,08	42,15	63,18
Угленит Э-6	200	17,0x2	51,0	68,0	25,5	38,25	51,00

Таблица 4. Значения напряжения в массиве для разных типов ВВ

Тип ВВ	Класс ВВ по предохранительности	Напряжения в массиве, МПа на расстоянии a_{min} от шпуровых зарядов, при которых не происходит их уплотнения		
		уголь	породы $f < 7$	породы $f = 7-10$
Аммонит 6ЖВ	II	34,058	47,501	66,386
Детонит М	II	46,801	61,520	85,979
Аммонал скальный № 3	II	45,538	59,860	83,658
Аммонит АП-5ЖВ	III	28,686	44,164	81,132
Аммонит ПЖВ-20 (Т-19)	IV	28,590	44,016	80,861
Угленит Э-6	V	31,086	66,885	–

Таблица 5. Значения радиуса заряда в скважине

Тип ВВ	Плотность патронирования средняя, г/см ²	Радиус заряда в скважине, приведенной к сферической форме, $r_{c\phi,c}$, мм, при его массиве, кг и количестве связок, шт.							
		1,0; 1	1,2; 1	1,6; 2	2,0; 2	2,4; 2;3	3,0; 3	3,2; 4	3,6; 3
Аммонит ПЖВ-20	1,100	—	63,90	—	—	80,45	—	—	92,11
Аммонит АП-5ЖВ	1,075	—	64,36	—	—	81,09	—	—	92,82
Аммонит 6ЖВ	1,100	—	63,90	—	—	80,45	—	—	92,11
Детонит М	1,060	60,85	—	—	76,66	—	87,75	—	—
Аммонал скальный №3	1,050	—	64,87	—	—	81,72	—	—	93,55
Угленит Э-6	1,175	—	—	68,77	—	78,72	—	86,64	—

сивностей их затухания, установленной экспериментально.

Чтобы при использовании любых ВВ исключалось уплотнение шпуровых зарядов скважинными, определение допустимых расстояний между ними следует производить с таким расчетом, чтобы во всех случаях напряжение от зарядов в скважинах снижалось до минимального уровня, который обеспечивается при взрывании в угле и породах с коэффициентом крепости от 2 до 15 цилиндрических зарядов диаметром 36 мм аммонита ПЖВ-20, принятого в качестве эталона, при «сглаженных» допустимых расстояниях между шпурами, приведенными в табл. 2.

Поскольку при применении ПЖВ-20 реализуется наименьшее, относительно других ВВ, напряжение в волне при приходе ее к смежному заряду, при применении других ВВ будет обеспечиваться запас при определении величины мини-

мально допустимых расстояний между зарядами, который следует предусматривать при решении вопросов безопасности.

Расчет предельных напряжений ($\Delta P_{\text{тр}}$) при взрывании цилиндрических зарядов диаметром 36 мм ПЖВ-20 выполнен по формуле (1), при показателе затухания равном 1,5 и количественно равен: 28,6; 30,9; 35,4; 41,2; 47,1; 54,5; 64,2; 73,4; 85,1; 97,4; 120,5; 138,0, соответственно в угле и породах с f от 2 до 10 включительно и $f=12$ и 15.

Для обеспечения гарантии безопасности при применении допущенных промышленных ВВ, напряжения в массиве при подходе волны напряжения от скважинного заряда к заряду на контуре вруба должна быть не более, приведенных выше при использовании ПЖВ-20, т.е. $\Delta P_{\text{тр}}$.

Поскольку заряды в скважинах формируют волны напряжения со свойствами цилиндрической и сферической форм, определение минимально

Таблица 6. Минимально допустимые расстояния зарядов на контуре вруба

Тип ВВ	Масса заряда в скважине, кг	Минимально допустимые расстояния зарядов на контуре вруба от скважинных, $a_{min,c}$, мм в угле и породах с коэффициентом крепости, f											
		Уголь	2	3	4	5	6	7	8	9	10	12	15
Аммонит ПЖВ-20 (Т-19)	1,2	445	435	420	404	390	377	363	352	341	332	319	311
	2,4	582	575	563	545	535	526	518	510	504	497	487	478
	3,6	752	746	736	726	717	709	700	693	686	680	673	667
Аммонит АП-5ЖВ	1,2	446	437	423	407	394	381	367	355	344	335	322	314
	2,4	593	587	575	563	553	544	533	525	519	512	502	493
	3,6	771	765	755	745	737	729	721	703	696	690	683	677
Аммонит 6ЖВ	1,2	475	465	448	430	415	400	370	359	348	338	325	316
	2,4	607	600	586	569	555	543	529	520	512	505	494	488
	3,6	776	770	759	744	733	722	710	703	696	690	681	676
Детонит М	1,0	504	492	471	450	432	414	395	381	367	354	336	325
	2,0	598	589	573	557	544	531	577	506	495	486	472	464
	3,0	736	729	715	702	690	679	667	658	649	641	630	623
Аммонал скальный №3	1,2	526	501	482	462	446	429	412	401	386	374	358	348
	2,4	648	639	624	610	598	585	572	563	552	544	532	524
	3,6	823	816	803	791	781	770	759	751	742	735	724	715
Угленит Э-6	1,6	455	447	434	421	411	400	388	-	-	-	-	-
	2,4	552	545	534	523	514	505	495	-	-	-	-	-
	3,2	670	659	644	635	627	618	610	-	-	-	-	-

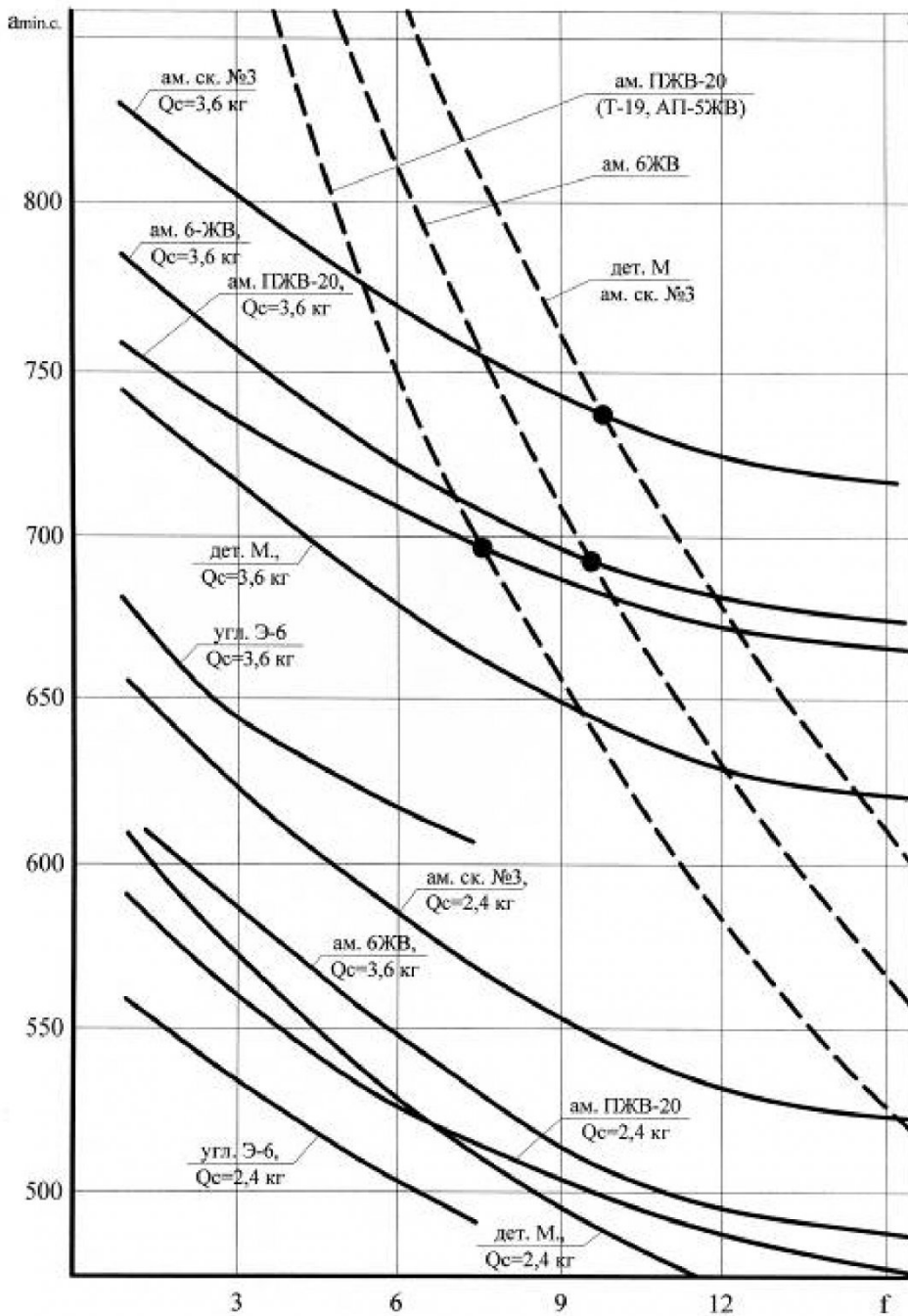


Рис. 2. Графики минимально допустимых расстояний зарядов на контуре вруба от скважинных в зависимости от крепости пород при исследовании

допустимых расстояний до шпуровых зарядов вруба необходимо производить с учетом интенсивности снижения напряжения в обеих формах волн.

Величина снижения напряжения в волне цилиндрической формы определится по правой части уравнения (3), при $P_{o.c} = P_{o.u}$ и радиусе скважинного заряда в его цилиндрической форме, т.е.

$$\Delta P_{u.c} = P_{o.u} / [R / r_{c.u}]^{1.5} \quad (5)$$

Далее от уровня $\Delta P_{u.c}$ снижение напряжения происходит по сферической зависимости до до-

пустимого предела, равного $\Delta P_{\vartheta.m}$, т.е.

$$\left(\frac{P_{o.u}}{R} \right)^{1.5} / \left(\frac{a_x}{r_{cph.c}} \right)^2 = \Delta P_{\vartheta.m} \quad (6)$$

где a_x — расстояние снижения напряжения в волне сферической формы от уровня $\Delta P_{u.c}$ до $\Delta P_{\vartheta.m}$;

$r_{cph.c}$ — радиус скважинного заряда, приведенного к сферической симметрии.

Таблица 7. Минимально допустимые расстояния между смежными шпуровыми зарядами при разных типах ВВ и схемах вруба

Тип ВВ	Схема вруба	Кол-во шпуротов на контуре вруба, шт.	Коэффициент крепости пород, f								
			8	9	10	12	15	Радиус вруба, $a_{min\ c}$, мм			
Аммонит ПЖВ-20		9+1	770	693	725	687	699	680	642 не проходит	673	-
		12+1 $f \leq 9$ 12+2 $f \geq 10$	740	693	692	687	732	680	612 предел	673	-
		14+1 $f \leq 10$ 14+2 $f \geq 12$	765	693	714	687	684	680 предел	690	673	-
		15+1 $f \leq 9$ 15+2 $f \leq 10$	734	693	684 предел	687	722	680	654 не проходит	673	-
Аммонит 6ЖВ		9+1	-	-	-	-	748	690	688 предел	681	-
		12+1 $f \leq 9$ 12+2 $f \geq 10$	-	-	-	-	711	690	720	681	644 не проходит
		14+1 $f \leq 10$ 14+2 $f \geq 12$	-	-	-	-	731	690	742	681	661 не проходит
		15+1 $f \leq 10$ 15+2 $f \leq 12$	-	-	-	-	700	690	710	681	639 не проходит
Аммонал скальный №3		9+1	-	-	-	-	-	-	734	724	657 не проходит
		12+2	-	-	-	-	-	-	770	724	688 676
		14+2	-	-	-	-	-	-	790	724	707 676
		15+2	-	-	-	-	-	-	758	724	678 676

Из формулы (6) непосредственно следует:

$$a_x = r_{c\phi.c} \sqrt{\frac{P_{o.u.}}{\Delta P_{\vartheta m} \left(\frac{R}{r_{c.u.}} \right)^{1.5}}} \quad (7)$$

Тогда суммарное минимально допустимое расстояние шпуровых зарядов на контуре вруба от скважинных равно:

$$a_{min\ c} = R + a_x = R + r_{c\phi.c} \sqrt{\frac{P_{o.u.}}{\Delta P_{\vartheta m} \left(\frac{R}{r_{c.u.}} \right)^{1.5}}} \quad (8)$$

Для количественной оценки $a_{min\ c}$ необходимо привести заряды в скважине к сферической симметрии по формуле:

$$r_{c\phi.c} = 0.5 \sqrt{\frac{6 \cdot Q_c}{\pi \rho_{BB}}} \quad (9)$$

Для наиболее распространенных промышленных ВВ, рассчитанные по формуле (9) радиусы скважинных зарядов, приведенные к сферической форме, состоящие из стандартных патронов массой 200, 250 и 300 г из 1, 2, 3 и 4 связок по 4 патрона, приведены в табл. 5.

Для оценки минимально допустимых расстояний зарядов на контуре вруба от скважинных в табл. 6 приведены значения $a_{min\ c}$, рассчитанные по формулам (8, 9) при использовании наиболее

распространенных промышленных ВВ при массе зарядов от 1,0 до 3,6 кг, которые могут быть использованы при проектировании параметров врубов в условиях угольных шахт непосредственно или путем интерполяции табличных данных при применении других ВВ или зарядов.

Для иллюстрации данных табл. 6 на рис. 2 приведены графики зависимостей

$a_{min\ c}$ от крепости пород и угля при массе зарядов в скважинах вруба 2,4 и 3,6 кг при применении аммонитов ПЖВ-20 (Т-19), 6ЖВ и аммонала скального № 3 в стандартных патронах массой 300 гр.; 2,0 и 3,0 кг при применении детонита М в патронах массой 250 гр. и 2,4 и 3,2 кг при применении угленита Э-6 в патронах массой 200 гр.

На графиках рис. 2 верхние кривые зависимостей соответствуют большей массе зарядов в скважинах, нижние – меньшей и обозначены сплошными линиями. На этом же рисунке пунктирными линиями обозначены расчетные, по требованиям эффективности разрушения массива, радиусы врубов при использовании ВВ типов ПЖВ-20 (Т-19), АП-5ЖВ, 6ЖВ, детонита М и аммонала скального № 3.

При этом ввиду незначительной разницы в радиусах врубов при использовании ПЖВ-20 и АП-5ЖВ, а также детонита М и аммонала скального № 3, последние зависимости объединены.

Как следует из графиков рис. 2 при использовании в скважинах зарядов массой 3,0 и 3,6 кг, в крепких породах, проектные радиусы врубов по эффективности разрушения массива становятся меньше допустимых по безопасности ($a_{min\ c}$). Так при применении ВВ типов ПЖВ-20 (Т-19), АП-5ЖВ, 6ЖВ, аммонала скального № 3 массой 3,6 кг, в породах с коэффициентом крепости, соответственно, равным 7,5; 9,5 и 10, а при применении зарядов детонита М

массой 3,0 кг в породах с $f = 14,5$, радиус вруба становится одинаковым с допустимым по $a_{min\ c}$.

Для того, чтобы расширить область применения зарядов массой 3,6 кг, позволяющих существенно увеличить глубину заходки без ущерба безопасности, рекомендуется увеличить диаметр вруба за счет увеличения количества шпуров на его контуре, но не более чем на 1, при использовании врубов с одним сосредоточенным зарядом и не более 2 при двух и более скважинах во врубе, при этом расстояние между ними должно быть не менее $a_{min\ c}$.

Поскольку некоторые параметры вруба дискретны и имеют ограничения по эффективности и безопасности, для оценки допустимого предела применения зарядов массой 3,6 кг требуется подбор параметров вруба. Для наиболее распространенных ВВ и схем врубов выполнена количественная оценка геометрических параметров врубов с массой зарядов в скважинах 3,6 кг при увеличенном количестве шпуров на его контуре и границы по крепости пород, в которых еще обеспечивается $a_{min\ c}$, приведены в табл. 7.

Как следует из данных табл. 7, при добавлении на контуре вруба одного или двух шпуров при неизменном расстоянии между ними, пределы использования КВВ, с массой зарядов в скважинах 3,6 кг, могут быть расширены без ущерба безопасности до $f=11$ при использовании предохранительных ВВ III-IV классов, до $f=12$ при использовании аммонита 6ЖВ и до $f=15$ при применении аммонала скального № 3.

Поскольку при увеличении диаметра вруба глубина заходки не изменяется, то и суммарная масса заряда в каждом шпуре на контуре вруба остается неизменной, но при этом необходимо произвести корректировку масс зарядов в ярусах.

СПИСОК ЛИТЕРАТУРЫ

1. Единые правила безопасности при взрывных работах: ПБ 13-407-01: утв. постановлением Госгортехнадзора России 30.01.01: ввод. в действие с 01.03.02 // Безопасность при взрывных работах: Сб. доп. сер. 13. Вып. 1. –М. : ГУП «Научно-техн. центр по безопасности в пром-ти Госгортехнадзора России», 2002. С. 5-212.
2. Мосинец В. И., Абрамов А. В. Разрушение трещиноватых и нарушенных горных пород. – М.: Недра, 1982. – 244 с.
3. Терминологический словарь Горное дело – М. : Недра, 1965. – 300 с.
4. Шемякин, Е. Н. О волнах напряжения в прочных горных породах / ПМТФ, №5. 1963. – С. 83-93.
5. Клаповский, В. Е. Особенности действия зарядов различной конструкции в среде / Труды V сессии Ученого совета по народнохозяйственному использованию взрыва. - Фрунзе, Илим, 1965. – С. 91-100.
6. Покровский, Г. И. Зависимость формы зоны действия взрыва от формы и расположения зарядов / В ст. Взрывное дело 54/11, управление действием взрыва. – М. : Недра, 1964. – С. 234-240.

□ Авторы статьи:

Войтов
Михаил Данилович
– канд.техн. наук, доц. каф.
«Строительство подземных
сооружений и шахт» КузГТУ.
Тел. 8 (3842) 39-63-78.

Сабанцев
Алексей Борисович
– зам. декана ФНПС КузГТУ.
Тел. 8 (3842) 39-69-83.